

図-3 荷重-たわみ曲線 (フランジ)

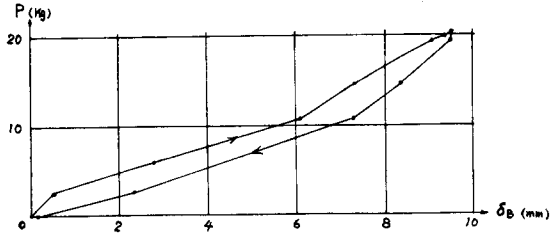


図-4 荷重-たわみ曲線 (ウェブ)

#### 4. ひずみ

図-5に圧縮側内側フランジの局部座屈前後のひずみ分布を示す。この図から、ウェブでは曲率を有することの非線形性が顕著に現われていることがわかる。また、フランジのひずみは半径方向に直線

分布となり、従来の梁理論の仮定の妥当性を裏付けていると思われる。さらに、図-5から、ねじりによる反り応力の局部座屈へ与える影響は大きいことがわかる。

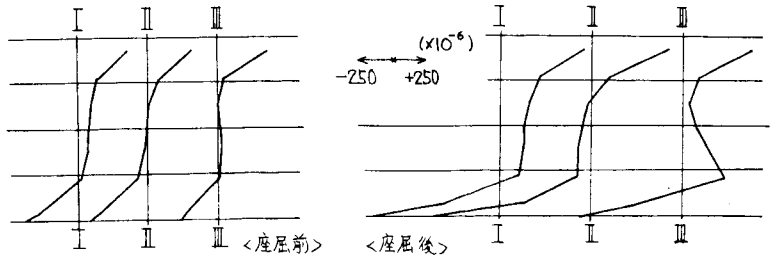


図-5a ひずみ分布 (ウェブ)

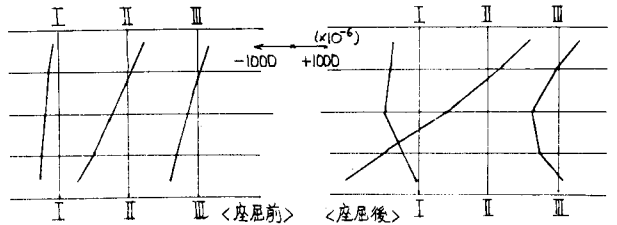


図-5b ひずみ分布 (圧縮側フランジ)

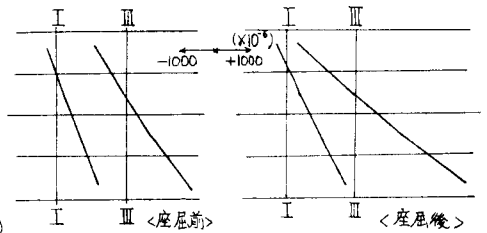


図-5c ひずみ分布 (引張側フランジ)

#### 5. あとがき

現在、有限要素法による曲線桁局部耐力解析を行っており、こゝらの結果との比較検討、さらには、鋼材を用いた実験も計画中であり、発表時にはより詳細な点を報告するつもりである。

	Section	曲げモーメント	ねじりモーメント
座屈前 P=10.646 (kg)	I	-1542	453
	II	-1346	261
	III	-1181	88
座屈後 P=20.328 (kg)	I	-2499	830
	II	-2396	513
	III	-2257	205

表-1. 各断面の曲げモーメントおよびねじりモーメントの値(kg・cm)

<参考文献> 1) Culver C.G., R.E. Frampton: Local Instability of Horizontally Curved Members, Proc. of ASCE, Vol. 96, ST2, pp245-265, Feb. 1970. 2) Georg Abdel-Sayed: Curved Webs under Combined Shear and Normal Stress, Proc. of ASCE, Vol. 99, ST3, Mar. 1973. 3) Culver C.G., C.L.D. Darryl, K. Brogan: Bending Behavior of Cylindrical Web Panel, Proc. of ASCE, Vol. 98, ST10, Oct. 1972. 4) Dabrowski R.: Gekrümmte dünnwandige Träger, Springer-Verlag. 5) 三上市蔵, 古西知夫, 米沢博: 曲げを受ける円筒腹板パネルの非線形挙動, 土木学会論文報告集, 第299号, pp23~34, 1980年7月。